

**This Page Is Inserted by IFW Operations
and is not a part of the Official Record**

BEST AVAILABLE IMAGES

Defective images within this document are accurate representations of the original documents submitted by the applicant.

Defects in the images may include (but are not limited to):

- BLACK BORDERS
- TEXT CUT OFF AT TOP, BOTTOM OR SIDES
- FADED TEXT
- ILLEGIBLE TEXT
- SKEWED/SLANTED IMAGES
- COLORED PHOTOS
- BLACK OR VERY BLACK AND WHITE DARK PHOTOS
- GRAY SCALE DOCUMENTS

IMAGES ARE BEST AVAILABLE COPY.

As rescanning documents *will not* correct images,
Please do not report the images to the
Image Problem Mailbox.

The Delphion Integrated View

[Get Now:](#) [PDF](#) | [More choices...](#)
[Tools:](#) Add to Work File: [Create new Work File](#) [Go](#)
[View:](#) [Expand Details](#) | [INPADOC](#) | Jump to: [Top](#)
 [Go to: Derwent...](#)
 [Email this to a friend](#)

>Title: [EP0821322A1: Method for temporal filtering of the noise in an image from a sequence of digital images and apparatus therefor](#) [\[German\]](#) [\[French\]](#)

Country: EP European Patent Office (EPO)

Kind: A1 Publ. of Application with search report

Inventor: Florent, Raoul;

Assignee: Philips Electronics N.V.

[News, Profiles, Stocks and More about this company](#)



High Resolution

Published / Filed: 1998-01-28 / 1997-07-22

Application Number: EP1997000202288

IPC Code: G06T 5/00;

ECLA Code: G06T5/00D;

Priority Number: 1996-07-24 FR1996000009307

Abstract:

Reducing noise in sequence of digitised X-ray images A sequence of medical x-ray images is captured over time and digitised. The images contain noise which is reduced by filtration. A timed noise signal is produced by taking the intensities of a particular pixel as they vary with time. A peak (D1) is present and a smoothed signal (Ptp) is evaluated using weighting factors (W1,W2). The weighting factors are applied to the smoothed signal at the most recent time. The current noisy signal is modified by the probability of the presence or absence of a current noise peak. A procedure for evaluating the probability is included.

INPADOC [Show legal status actions](#) Get Now: [Family Legal Status Report](#)

Legal Status: AT BE CH DE DK ES FI FR GB GR IE IT LI LU MC NL PT SE

Designated Country:

Family: [Show 4 known family members](#)

Description: [Expand full description](#)

± I/ Dispositif à rayons X

± II/ Procédé de filtrage temporel du bruit

± III/ Dispositif pour mettre en oeuvre le procédé de filtrage

First Claim: [Show all claims](#)

1. Procédé de filtrage temporel du bruit dans une image d'une séquence d'images numérisées en forme de matrices bidimensionnelles de pixels, formées depuis un premier instant (t₀) jusqu'à un dernier instant (t₁), ces pixels ayant des valeurs

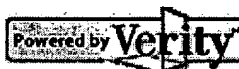
d'intensité correspondant à chaque instant appelées échantillons, ce procédé comprenant une évaluation, pour une localisation donnée de pixel, d'un échantillon du dernier instant temporellement filtré (P_t^P), en effectuant une combinaison appelée première combinaison de l'échantillon de l'avant-dernier instant temporellement filtré (P_{t-1}^c) affecté d'un premier poids (W_1) et de l'échantillon bruité du dernier instant (I_t^P) modulé par un second poids (W_2) qui est une fonction d'une valeur de probabilité (β_t^P) d'absence de pic de bruit sur cet échantillon.

Forward References:

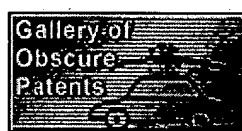
Go to Result Set: Forward references (1)

PDF	Patent	Pub.Date	Inventor	Assignee	Title
	US6564180	2003-05-13	Kondo; Tetsujiro	Sony Corporation	Data processing apparatus and data processing method

Other Abstract Info:



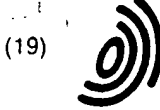
DERABS G98-089089 DERG98-089089



Nominate this for the Gallery...

© 1997-2003 Thomson Delphion

[Research Subscriptions](#) | [Privacy Policy](#) | [Terms & Conditions](#) | [Site Map](#) | [Contact Us](#) | [Help](#)



(19)

Europäisches Patentamt
European Patent Office
Office européen des brevets



(11)

EP 0 821 322 A1

(12)

DEMANDE DE BREVET EUROPEEN

(43) Date de publication:
28.01.1998 Bulletin 1998/05

(51) Int Cl. 6: G06T 5/00

(21) Numéro de dépôt: 97202288.3

(22) Date de dépôt: 22.07.1997

(84) Etats contractants désignés:
AT BE CH DE DK ES FI FR GB GR IE IT LI LU MC
NL PT SE
Etats d'extension désignés:
AL LT LV RO SI

(30) Priorité: 24.07.1996 FR 9609307

(71) Demandeur: Philips Electronics N.V.
5621 BA Eindhoven (NL)

(72) Inventeur: Florent, Raoul
75008 Paris (FR)

(74) Mandataire: Lottin, Claudine
Société Civile S.P.I.D.
156, Boulevard Haussmann
75008 Paris (FR)

(54) Procédé de filtrage temporel du bruit dans une image d'une séquence d'images numérisées et dispositif mettant en oeuvre ce procédé

(57) L'invention concerne un procédé de filtrage temporel du bruit dans une image d'une séquence d'images numérisées, formées, d'un premier instant (t_0) à un dernier instant (t), de pixels ayant des valeurs d'intensité correspondant à chaque instant appelées échantillons, ce procédé comprenant une évaluation, pour pixel donné, d'un échantillon du dernier instant temporellement filtré (P_t^P), en effectuant une combinaison

son de l'échantillon filtré de l'avant-dernier instant (P_{t-1}^C) affecté d'un premier poids (W_1) et de l'échantillon bruité du dernier instant (I_t^P) modulé par un second poids (W_2) qui est une fonction d'une valeur de probabilité (β_t^P) d'absence de pic de bruit sur cet échantillon.

Application: Imagerie médicale en fluoroscopie

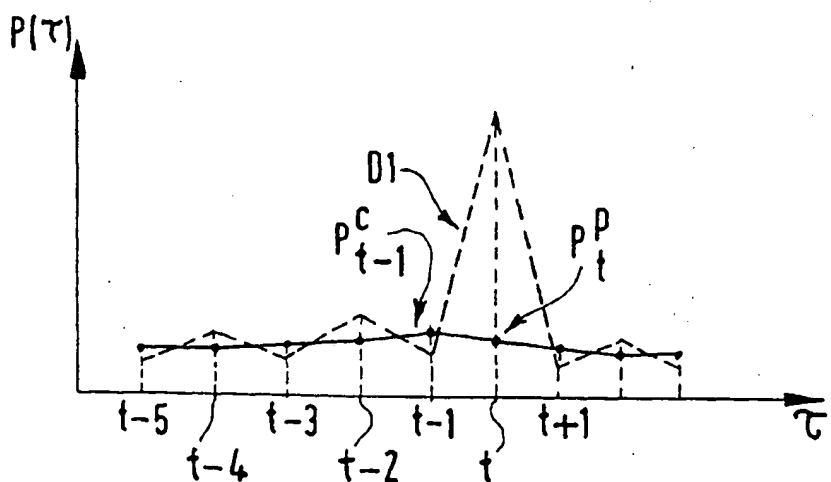


FIG. 4A

EP 0 821 322 A1

Description

L'invention concerne un procédé de filtrage temporel du bruit dans une image d'une séquence d'images numérisées, ainsi qu'un dispositif pour mettre en oeuvre ce procédé.

L'invention trouve particulièrement son application dans le traitement d'images médicales formées dans un mode fluoroscopique de rayons X, au moyen d'un système où le faisceau de rayons X a une faible intensité, fournissant sous forme de séquence des images numérisées bruitées et peu contrastées qui doivent être filtrées afin d'en extraire le bruit, sans en détériorer les détails.

Le filtrage temporel consiste à lisser un signal monodimensionnel appelé signal temporel, constitué par les valeurs d'intensité numérisée d'un pixel ayant une localisation donnée dans les images de la séquence, en fonction du temps.

Un procédé de filtrage temporel est déjà connu par la publication de R.E.KALMAN, intitulée "A new approach to linear filtering and prediction problems" dans "Transactions of the ASME, Journal of Basic Engineering, Series 82D, pp. 35-45, 1960.

Le filtrage de Kalman est défini par une équation récursive donnant l'intensité filtrée d'un pixel courant d'une image de la séquence en fonction d'hypothèses faites A PRIORI, en fonction de l'intensité du pixel de même localisation dans l'image précédente de la séquence et en fonction d'un facteur appelé gain de Kalman.

Cette équation peut conduire à plusieurs algorithmes récursifs. Dans un des algorithmes, le gain de Kalman est une fonction de la différence entre l'intensité bruitée observée à un instant donné et l'intensité filtrée à l'instant précédent, pour un pixel de localisation donnée. Il en résulte que, s'il apparaît une discontinuité d'intensité due à un mouvement ou à un pic de bruit, le signal temporel est lissé avant la discontinuité, mais que, par contre, il n'est plus filtré après la discontinuité. Cet algorithme n'est donc pas approprié au traitement de ce genre de discontinuité d'intensité.

Un problème est que, dû à la très faible intensité du faisceau fluoroscopique de rayons X, les images de la séquence sont extrêmement bruitées, et contiennent fréquemment des pics de bruit.

Un autre problème est que, dû au fait que chaque image de la séquence est séparée de la suivante par un petit laps de temps, un événement important comme le déplacement d'un petit outil tel qu'un cathéter, peut survenir d'une image à l'autre. Le filtrage de l'image où apparaît le mouvement de ce petit objet ne doit pas déformer ou effacer cet objet.

La présente invention vise à fournir un procédé de filtrage temporel pour la réduction du bruit, dans les images successives d'une séquence d'images numérisées :

qui travaille strictement en temps réel, c'est-à-dire qui fournit l'image courante filtrée dès l'apparition de ladite image courante observée, immédiatement, sans retard d'image, quelle que soit la cadence des images dans la séquence,
5 qui soit capable d'éliminer les pics de bruit ; qui n'efface pas et ne déforme pas les petits objets en mouvement.

10 Le problème d'élimination des pics de bruit en temps réel est résolu au moyen d'un procédé de filtrage temporel du bruit selon la revendication 1.

Le problème de l'élimination du bruit sans déformer les petits objets en mouvement est résolu par un tel procédé selon la revendication 5.

15 Un dispositif pour mettre en oeuvre ce procédé de filtrage est récité dans la revendication 7. Ce dispositif offre l'avantage d'être simple à mettre en oeuvre et de fournir strictement et exactement en temps réel un filtrage temporel du bruit efficace qui supprime les pics de bruit.

20 L'invention est décrite ci-après en détail, en référence avec les figures schématiques annexées dont :

25 la FIG.1 qui représente un dispositif de prises de vues à rayons X ;

la FIG.2 qui représente une séquence d'images numériques ;

30 la FIG.3A qui représente un signal temporel bruité correspondant à un pixel de localisation donnée avec un pic de bruit ;

la FIG.3B qui représente un autre signal temporel bruité, avec une discontinuité due à un mouvement ;

35 la FIG.4A qui représente un signal temporel filtré correspondant au signal temporel bruité de la FIG.3A ;

la FIG.4B qui représente un signal temporel bruité tel que celui de la FIG.4A, d'abord filtré par un filtre spatial ;

40 les FIGs.5A et 5B qui illustrent un premier et un second exemple de filtre spatiaux ;

la FIG.6 qui montre un exemple possible de fonction de modulation de l'échantillon du présent dans la fonction de filtrage temporel ;

45 les FIG.7A et 7B qui montrent, sous forme de blocs fonctionnels, un dispositif pour mettre en oeuvre le procédé de filtrage temporel.

50 I/ Dispositif à rayons X

En référence à la FIG.1, dans un exemple d'application du présent procédé, un système de radiographie numérisée comprend une source 1 de rayons X : une table 2 pour recevoir un patient ; un dispositif intensificateur d'image 3 couplé à un tube vidéo 4, qui fournit des données à un système 5 de traitement numérique d'image comprenant un microprocesseur et approprié à

mettre en oeuvre le présent procédé. Ce microprocesseur comprend plusieurs sorties dont, par exemple, une sortie 6 couplée à un moniteur 7 pour la visualisation de la séquence d'images radiographiques ou des images d'intensité.

La présente invention ne tient pas compte de la méthode par laquelle la séquence d'images numériques a été obtenue, ni de la nature des objets qu'elle représente, mais concerne seulement le filtrage de ces images dans cette séquence pour éliminer le bruit et les pics de bruit.

II/ Procédé de filtrage temporel du bruit

La présente invention propose un procédé de filtrage temporel du bruit successivement de chaque image d'une séquence d'images numériques bruitées. Ce procédé opère le filtrage de la dernière image bruitée observée. Ce procédé est donc exactement mené à bien en temps réel.

En référence à la figure 2, ce procédé comporte l'acquisition et la numérisation d'une séquence d'images bruitées composée d'images d'intensité du passé J_j^C , appelées "images causales", formées depuis un premier instant t_0 jusqu'à un instant $j=t-1$, où t est un instant appelé présent ; et d'une image J_t^P en cours de filtrage, appelée image du présent, arrivant à l'instant présent $j=t$. Chaque image numérisée bruitée J_j est une matrice bidimensionnelle de pixels $A_j(x,y)$ repérés par leurs coordonnées x, y et par un niveau d'intensité $I_j(x,y)$.

Comme représenté sur les FIG.3A et 3B, un signal temporel bruité (I_t) est formé des différents niveaux d'intensité $I_j(x,y)$ à une localisation donnée x,y de pixel $A_j(x,y)$, en fonction du temps τ (lire tau). Ce procédé permet d'obtenir un signal temporel filtré $P(\tau)$, comme représenté sur la FIG.4A. On appelle "échantillons" les intensités qui sont les points des signaux temporels $I(\tau)$ et $P(\tau)$. Les échantillons du passé ou causals sont notés I_j^C et l'échantillon du présent est noté I_t^P .

Ce procédé effectue un filtrage de l'échantillon bruité I_t^P arrivé à l'instant présent t , et construit un échantillon filtré P_t^P . Le filtrage temporel est effectué favorablement pour chaque pixel $A_j(x,y)$ de la matrice bidimensionnelle, aux différentes coordonnées x, y , individuellement.

La FIG.3A montre un signal temporel bruité $I(t)$ ayant un pic de bruit D1 apparaissant dès l'instant $t-1$, centré sur l'instant t et disparaissant ultérieurement.

La figure 3B montre un signal temporel $I(t)$ bruité ayant une discontinuité d'intensité D2 arrivant à l'instant présent t sur l'échantillon I_t^P , due à un petit mouvement local, qui se traduit par un front de montée du signal temporel $I(t)$ entre l'instant $t-1$ et l'instant t , entre un signal substantiellement bas avant l'instant $t-1$, et un signal qui reste substantiellement haut après l'instant t .

Ce signal temporel montre en outre des petites dents de scie dues au bruit, le niveau d'intensité à la localisation (x,y) variant constamment, et provoquant un

aspect de chute de neige dans les images de la séquence. Le filtrage permet de supprimer cet aspect en lissant à une valeur moyenne le signal temporel $I(\tau)$ relatif à un pixel donné. Ce filtrage a en outre pour but d'éliminer les pics de bruit tels que D1.

Un pic de bruit tel que D1 doit être distingué d'une discontinuité d'intensité telle que D2 pour pouvoir être éliminé. A cet effet, le présent procédé prend en compte que le pic de bruit D1 ne correspond pas à un phénomène purement spatial comme cela est le cas de la discontinuité D2, mais correspond en outre à un phénomène temporel.

L'échantillon filtré P_t^P pour reconstruire l'échantillon bruité du présent I_t^P s'exprime par la relation (1) :

$$P_t^P = \frac{W_1 P_{t-1}^C + W_2 I_t^P}{W_1 + W_2} \quad (1)$$

Selon cette relation (1) l'échantillon filtré P_t^P , ou signal temporel filtré à l'instant présent t , est une combinaison de l'échantillon causal filtré P_{t-1}^C , évalué à l'avant-dernier instant, appelé dernier échantillon causal filtré, et de l'échantillon bruité I_t^P observé à l'instant présent t . Dans la formule (1) du signal filtré P_t^P , on affecte aux échantillons P_{t-1}^C et I_t^P respectivement un premier poids W_1 et un second poids W_2 .

Le dénominateur de la formule (1) est un facteur de normalisation dont la présence est fondée sur le fait que la somme des poids que l'on applique aux échantillons doit être égale à 1 pour que la moyenne du signal filtré P_t^P soit égale à la moyenne du signal bruité I_t^P .

Dans la formule (1) l'échantillon bruité du présent I_t^P est modulé par une fonction d'une valeur de probabilité β_t^P d'absence de pic de bruit à l'instant présent t . A cet effet, une détection de pic de bruit est appliquée au signal temporel à l'instant présent t , pour évaluer la valeur de probabilité β_t^P d'absence de pic de bruit, et le poids W_2 affecté à l'échantillon bruité du présent I_t^P dans la combinaison (1) est de préférence une fonction de cette valeur de probabilité β_t^P . Dans un exemple approprié, ce second poids est tel que :

$$W_2 = \beta_t^P \quad (2)$$

En référence à la FIG.7A, qui illustre le présent procédé au moyen de blocs fonctionnels, la détection de pic de bruit sur l'échantillon bruité du présent I_t^P comprend :

un passage 101 d'un filtre spatial G sur l'échantillon bruité du présent I_t^P , pour évaluer un échantillon lissé du présent G_t^P , une évaluation 103 d'une première différence $\Delta 1$ effectuée entre l'échantillon bruité du présent I_t^P et l'échantillon lissé du présent G_t^P ;

$$\Delta 1 = I_t^P - G_t^P \quad (3)$$

une évaluation 104 d'une seconde différence $\Delta 2$ effectuée entre l'échantillon bruité du présent I_t^P et le dernier échantillon causal bruité I_{t-1}^C :

$$\Delta 2 = I_t^P - I_{t-1}^C \quad (4)$$

une comparaison 107 des signes de deux différences $\Delta 1$ et $\Delta 2$.

une évaluation 110 d'une variable Z_t^P supérieure ou égale à zéro telle que $Z_t^P \geq 0$. L'évaluation de la variable Z_t^P est une mesure de présomption de présence de pic de bruit à l'instant présent t . En effet, un pic de bruit est un phénomène transitoire à la fois dans le domaine spatial et dans le domaine temporel.

L'évaluation 103 de la première différence $\Delta 1$ entre l'échantillon bruité I_t^P à l'instant t et l'échantillon filtré spatialement G_t^P relatif au même instant permet de mettre en évidence l'aspect transitoire dans le domaine spatial.

Pour réaliser le filtrage spatial de l'échantillon bruité à l'instant du présent t , toute fonction G de filtrage spatial qui supprime les pics locaux de signal, ou les extrema locaux de signal, est appropriée à être utilisée. Ce filtrage spatial peut être du type passe-bas, ou bien de préférence du type médian hybride tel que décrit par exemple dans la publication intitulée "A new Class of Detail Preserving Filters for Image Processing" par Ari NIEMI-NEN et alii. dans IEEE Transactions on Patterns Analysis and Machine Intelligence, vol. PAMI.9, N°1, Jan. 1987. De préférence, selon l'invention, un des filtres spatiaux 101 tels que décrits ci-après, sera appliqué au signal bruité I_t^P .

En référence à la FIG.5A, dans un premier exemple de filtre spatial 101, on fait passer sur l'image J_t à traiter, et au pixel $A_t(x, y)$, un filtre médian de quelques pixels, par exemple 3 pixels. Dans une petite fenêtre $\Omega_t(x, y)$, ce filtre 101 centré sur le pixel courant $A_t(x, y)$ calcule l'intensité des 3 pixels adjacents, sur une direction donnée, par exemple horizontale, ordonne leurs valeurs d'intensité de la plus petite à la plus grande intensité et retient comme intensité filtrée, l'intensité autre que la plus petite et la plus grande, appelée intensité médiane. Cette intensité médiane G_t^P est affectée au pixel courant $A_t(x, y)$.

En référence à la FIG.5B dans un second exemple de filtre spatial 101, on fait passer sur l'image J_t à traiter et au pixel $A_t(x, y)$, un filtre médian délimité par une fenêtre $\Omega_t(x, y)$ centrée en x, y , ce filtre ayant plusieurs orientations possibles par exemple une orientation horizontale appelée H, une orientation verticale appelée V, et des orientations selon une première diagonale ap-

pelée X1, et selon une seconde diagonale appelée X2.

La valeur médiane est d'abord déterminée sur chaque orientation. Puis deux nouvelles valeurs médianes sont déterminées en prenant le résultat des deux orientations H et V avec l'intensité du point central $A_t(x, y)$ d'une part, et le résultat des deux orientations X1 et X2 d'autre part avec l'intensité de point central $A_t(x, y)$. Enfin, une dernière valeur médiane est déterminée en prenant ces deux valeurs nouvelles avec l'intensité de point central $A_t(x, y)$. Cette dernière valeur médiane G_t^P est affectée au point central $A_t(x, y)$.

L'évaluation 104 de la seconde différence $\Delta 2$ entre les deux échantillons consécutifs dans le temps formés par l'échantillon I_t^P bruité à l'instant t et l'échantillon bruité I_{t-1}^C à l'instant précédent $t-1$, permet de mettre en évidence l'aspect transitoire dans le domaine temporel.

La présence d'un phénomène transitoire à la fois dans le domaine spatial et dans le domaine temporel, c'est-à-dire la présence d'un pic de bruit, est détectée lorsque les différences $\Delta 1$ et $\Delta 2$ évaluées sont cohérentes et montrent une variation d'intensité dans le même sens, ce qui est concrétisé par une identité des signes de ces deux différences $\Delta 1, \Delta 2$.

La présence de pic de bruit est présumée nulle lorsque les signes des différences $\Delta 1, \Delta 2$ sont différents :

$$Z_t^P = 0 \quad (5)$$

La présence de pic de bruit est présumée avérée lorsque les signes des différences $\Delta 1, \Delta 2$ sont les mêmes :

$$Z_t^P \neq 0 \quad (6)$$

La présomption de présence de pic de bruit est alors mesurée selon l'invention par la relation :

$$Z_t^P = \text{Min}(|\Delta 1|, |\Delta 2|) \quad (7)$$

A cet effet, le procédé comprend l'évaluation 108; 109 des valeurs absolues des différences $\Delta 1$ et $\Delta 2$

$$|\Delta 1| = |I_t^P - G_t^P| \quad (8)$$

$$|\Delta 2| = |I_t^P - I_{t-1}^C| \quad (9)$$

et la mesure Z_t^P de présomption de présence de pic de bruit est prise comme la plus petite valeur entre les deux valeurs absolues des différences $\Delta 1, \Delta 2$.

Le procédé comprend alors l'évaluation 110 d'une probabilité d'absence de pic. Cette probabilité β_t^P est évaluée comme une fonction F_t^P non strictement dé-

croissante de la variable Z_t^P selon la relation :

$$\beta_t^P = F_t^P(Z_t^P) \quad (10)$$

Pour éviter que le procédé de filtrage temporel, incluant ces étapes de détection de pic de bruit et d'évaluation de probabilité ne donne des résultats aberrant dans les cas où en même temps :

il existe une discontinuité d'intensité réelle dans le passé, ce qui implique que le précédent ne peut pas s'appuyer sur les échantillons causals précédant la discontinuité.

il existe un pic de bruit à l'instant présent, ce qui implique que le procédé ne peut pas s'appuyer sur l'échantillon présent, alors on interdit à la fonction décroissante F_t^P de prendre la valeur zéro. Cela signifie que, selon le procédé, la probabilité β_t^P d'absence de pic à l'instant courant t n'est jamais nulle

$$\beta_t^P \neq 0 \quad (11)$$

En référence à la FIG.6, une courbe représentative possible de la probabilité β_t^P en fonction de la variable Z_t^P montre à titre d'exemple que :

la probabilité β_t^P d'absence de pic vaut 1 lorsque la valeur Z_t^P de présomption de présence de pic vaut 0.

la probabilité β_t^P d'absence de pic reste proche de 1 pour les valeurs Z_t^P de présomption de présence de pic inférieures à 1,

la probabilité β_t^P d'absence de pic tend vers une valeur β_{MIN}^P pour les valeurs Z_t^P de présomption de présence de pic supérieures à 2.

Dans la formule (1), le poids W_2 de l'échantillon du présent I_t^P est pris égal à la probabilité β_t^P d'absence de pic. Lorsque la probabilité d'absence de pic est 1, il y certitude d'absence de pic, et la confiance qui doit être accordée à l'échantillon du présent I_t^P est grande. Pour traduire ce fait, le poids W_2 associé à l'échantillon du présent I_t^P a la valeur 1 comme la probabilité β_t^P , soit :

$$W_2 = \beta_t^P = 1 \quad (12)$$

Lorsque la probabilité d'absence de pic β_t^P est de l'ordre de β_{MIN}^P , c'est-à-dire à une valeur faible, il y a quasi-certitude de présence de pic et la confiance accordée à l'échantillon du présent I_t^P est faible. Pour traduire ce fait, le poids associé à l'échantillon du présent prend une valeur faible, par exemple :

$$W_2 = \beta_{MIN}^P = 0.1 \quad (13)$$

Entre ces deux valeurs, l'échantillon du présent I_t^P est modulé, dans la formule (1), par la valeur de la probabilité β_t^P calculée comme décrit plus haut en fonction des différences $\Delta 1$ et $\Delta 2$.

Il est souhaitable que la courbe β_t^P en fonction de la variable Z_t^P ne dépende pas du bruit. Pour obtenir ce résultat, chacune des différences $\Delta 1$ et $\Delta 2$ est normalisée par l'écart type du bruit σ_B , qui est une notion connue de l'homme du métier.

On rappelle que l'écart type du bruit σ_B est la racine carrée de la variance du bruit σ_B^2 relative à un échantillon donné. La variance du bruit est la moyenne des écarts au carré du bruit dans la région considérée de l'image J_t par rapport à la moyenne locale d'intensité dans cette région.

Pour chaque différence $\Delta 1$, $\Delta 2$, la variance du bruit est approximativement $2\sigma_B^2$. Il en résulte que l'écart type du bruit est approximativement $\sigma_B \sqrt{2}$.

Les différences utilisées sont donc de préférence les différences normalisées $\Delta 1$ et $\Delta 2$ données par les relations :

$$\Delta 1 = \frac{I_t^P - G_t^P}{\sigma_B \sqrt{2}} \quad (14)$$

$$\Delta 2 = \frac{I_t^P - P_{t-1}^C}{\sigma_B \sqrt{2}} \quad (15)$$

D'où il résulte que :

$$Z_t^P = \text{Min} \left(\frac{|\Delta 1|}{\sigma_B \sqrt{2}}, \frac{|\Delta 2|}{\sigma_B \sqrt{2}} \right) \quad (16)$$

Le procédé décrit plus haut permet de distinguer un pic de bruit comme montré sur la FIG.3A d'une discontinuité comme montrée sur la FIG.3B, permet de prendre en compte un tel pic de bruit, et d'éliminer ce pic de bruit comme montré sur la FIG.4A.

Dans ce procédé, le dernier échantillon causal filtré doit être calculé par un filtrage temporel qui peut être un procédé récursif ou non récursif connu de l'homme du métier. De préférence, le dernier échantillon causal est calculé par une seconde combinaison telle que :

$$P_{t-1}^C = \frac{\sum_{j=t-1}^{j=t-1} b_j^C \times I_j^C}{\sum_{j=t-1}^{j=t-1} b_j^C} \quad (17)$$

où I_j^C représente les échantillons causals bruités, prélevés dans les images de la séquence, à une localisation $A_i(x,y)$ donnée de pixel, du premier instant t_0 , jusqu'à l'avant-dernier instant $t-1$, et où b_j^C représente des poids associés respectivement à chaque échantillon de même indice. La seconde combinaison est normalisée par la somme des poids b_j^C .

Dans un exemple de mise en oeuvre du procédé, les poids b_j^C peuvent être des constantes affectées respectivement aux échantillons causals, déterminées empiriquement par l'homme du métier. Dans ce cas, cependant, le problème du mouvement dès très petits objets n'est pas complètement résolu.

De préférence, un poids b_k^C d'un échantillon donné causal I_k^C est le produit des probabilités d'absence de discontinuité α_j^C , effectué entre cet échantillon causal donné I_k^C et l'échantillon bruité du présent I_t^P .

Par discontinuité, on entend une discontinuité d'intensité entre deux échantillons consécutifs de la suite d'échantillon causals, due à un mouvement, et donc liée à un phénomène spatial, comme par exemple montré sur la FIG. 3B.en 2D. Ainsi :

$$b_k^C = \prod_{j=k+1}^{j=t} \alpha_j^C \quad (18)$$

A titre d'exemple, la formulation du poids causal b_{t-1}^C lié à l'échantillon causal bruité I_{t-1}^C est :

$$b_{t-1}^C = \alpha_t^C \quad (19)$$

qui est la probabilité d'absence de discontinuité entre les échantillons I_{t-1}^C et I_t^P . Et la formulation du poids causal b_{t-2}^C lié à l'échantillon causal bruité I_{t-2}^C est :

$$b_{t-2}^C = \alpha_t^C \times \alpha_{t-1}^C \quad (20)$$

etc.

Il résulte de cette formulation, que si une discontinuité d'intensité telle que D2 intervient entre l'instant où arrive l'échantillon I_k^C et l'instant où arrive l'échantillon du présent I_t^P , alors ledit échantillon I_k^C est peu pris en compte dans la seconde combinaison car son poids est faible. Seuls les échantillons pour lesquels il y a continuité d'intensité jusqu'à l'échantillon du présent sont formellement pris en compte dans la seconde combinaison de la relation (17).

Selon le procédé de filtrage temporel du bruit et des pics de bruit, dans la formule (1), le dernier échantillon causal filtré est évalué selon la formule (17) et le poids W_1 qui lui est associé est donné par ladite somme des poids de la seconde combinaison :

$$W_2 = \sum_{j=t_0}^{j=t-1} b_j^C \quad (21)$$

D'une manière préférée, on pose, à titre de simplification, l'expression :

$$\sum_{j=t_0}^{j=t-1} b_j^C = \frac{1}{K_{t-1}^C} \quad (22)$$

L'expression de la formulation (1) de la première combinaison pour obtenir le filtrage des pics de bruit utilise alors de manière avantageuse l'expression d'un troisième poids W_t^P donnée par :

$$W_t^P = \frac{\beta_t^P}{\frac{1}{K_{t-1}^C} + \beta_t^P} \quad (23)$$

de telle manière que l'évaluation de l'échantillon filtré du présent soit donnée par la relation :

$$P_t^P = (1 - W_t^P) P_{t-1}^C + W_t^P I_t^P \quad (24a)$$

qui est équivalente à la formulation :

$$P_t^P = P_{t-1}^C + W_t^P (I_t^P - P_{t-1}^C) \quad (24b)$$

ou bien

$$P_t^P = \frac{W_1 P_{t-1}^C + W_2 I_t^P}{W_1 + W_2} \quad (1)$$

ou encore équivalente à l'expression :

$$P_t^P = \frac{\frac{1}{K_{t-1}^C} X P_{t-1}^C + \beta_t^P I_t^P}{\frac{1}{K_{t-1}^C} + \beta_t^P} \quad (25)$$

qui montre que dans la première combinaison (1) l'échantillon du présent I_t^P est modulé par un coefficient de probabilité $\beta_t^P = W_2$ d'absence de pic de bruit et que l'avant-dernier échantillon causal P_{t-1}^C a pour poids W_1 la somme des poids $1/K_{t-1}^C$ de la seconde combinaison (17) qui permet la détermination dudit échantillon.

En utilisant la méthode préférentielle qui vient d'être décrite pour la détermination de l'avant-dernier échan-

échantillon causal filtré et de son poids W1, le problème de l'élimination du bruit sans déformer ou effacer les petits objets en mouvement provoquant des discontinuités spatiales telles que D2 de la FIG.3B, est complètement résolu.

Les première, seconde et troisième combinaisons peuvent être respectivement linéaires.

III/ Dispositif pour mettre en oeuvre le procédé de filtrage

La formule (24b) est aisément évaluable par des moyens de calcul simple, comme il est décrit ci-après.

En référence aux FIG.7A et 7B, un dispositif simple pour mettre en oeuvre le procédé de filtrage proposé est décrit sous forme de blocs fonctionnels.

Ce dispositif comprend d'abord des moyens non représentés, pour extraire les échantillons bruités relatifs à un pixel $A_j(x,y)$ de localisation donnée x,y dans les images numériques, du premier instant t_0 jusqu'à l'instant du présent t.

En référence à la FIG.7B, ce dispositif comprend ensuite un premier ensemble 190, que l'on peut appeler ensemble de filtrage temporel causal, pour effectuer l'évaluation, à partir des échantillons causals bruités prélevés dans le temps de t_0 à $t-1$, à la localisation donnée x,y , du dernier échantillon causal filtré P_{t-1}^C par un filtrage linéaire, avec des poids associés aux échantillons qui sont, soit constants, soit de préférence fonctions des coefficients c_j^C de probabilité d'absence de discontinuité comme décrit plus haut.

Des filtres récursifs ou non récursifs, appropriés à réaliser un filtrage linéaire, sont connus de l'homme du métier et ne sont pas décrits plus avant. Un tel filtre linéaire 190 pour effectuer ce filtrage causal a une entrée 189 pour les échantillons causals bruités I_{t-1}^C et une entrée 188 pour les poids b_j^C constants ou sous la forme préférée de produits des α_j^C et fournit à sa sortie 204 le dernier échantillon causal filtré P_{t-1}^C , et à sa sortie 205, dans la forme préférée, la somme des poids

$$\sum_{j=t-1}^{j=t} b_j^C$$

sous la forme inverse qui est posée égale à K_{t-1}^C .

Ce dispositif comprend ensuite des moyens classiques non représentés, car à la portée de tout homme du métier, pour évaluer l'écart type du bruit $\sigma_B \sqrt{2}$ à partir de la variance du bruit σ_B^2 des échantillons des différences Δ_1, Δ_2 .

En référence à la FIG.7A, le dispositif de filtrage temporel pour diminuer les pics de bruit comprend essentiellement un ensemble 200 incluant des entrées qui sont :

une entrée 99 pour le dernier échantillon bruité cau-

sal I_{t-1}^C ,

une entrée 100 pour l'échantillon bruité du présent I_t^P ,

une entrée 204 pour le dernier échantillon causal filtré P_{t-1}^C provenant du filtre linéaire causal 190,

une entrée 205 pour la valeur K_{t-1}^C provenant du filtre linéaire causal 190,

une entrée 206 pour les valeurs évaluées de l'écart type du bruit σ_B ,

une sortie 301 pour l'échantillon filtré du présent P_t^P où le bruit et les pics de bruit sont éliminés de façon extrêmement rigoureuse.

Dans l'ensemble 200, se trouvent :

un premier sous-ensemble 210 pour évaluer la probabilité β_t^P d'absence de pics de bruit.

et un deuxième sous-ensemble 220 pour évaluer finalement l'échantillon temporellement filtré du présent P_t^P .

Le premier sous-ensemble reçoit l'échantillon bruité du présent I_t^P et le filtre spatial G , en 101, pour fournir l'échantillon lissé du présent G_t^P .

Ce premier sous-ensemble reçoit aussi le dernier échantillon causal filtré I_{t-1}^C et la valeur évaluée de l'écart type du bruit σ_B .

L'échantillon bruité du présent I_t^P et l'échantillon lissé du présent G_t^P sont portés dans un premier additionneur 103 qui fournit la première différence Δ_1 ; l'échantillon bruité du présent I_t^P et le dernier échantillon causal filtré I_{t-1}^C sont portés dans un deuxième additionneur 104 qui fournit la deuxième différence Δ_2 . Les différences Δ_1 et Δ_2 sont entrées dans des Tables (L.U.T) respectivement 105 et 106, de même que la valeur de l'écart du bruit σ_B pour fournir lesdites différences normalisées par l'écart du bruit selon les relations respectives (14) et (15).

Le signe des différences normalisées est comparé dans le comparateur de signe 107 qui fournit un signal 0 ou 1 pour imposer que la valeur de la mesure de présomption de présence de pic de bruit Z_t^P soit évaluée :

0 si les signes sont différents,
et ≠ 0 si les signes sont identiques.

Les valeurs des différences Δ_1, Δ_2 normalisées sont portées respectivement dans des blocs 108, 109 d'évaluation des valeurs absolues; à la suite de quoi, la probabilité β_t^P est calculée dans la Table (L.U.T) 110, selon la commande du comparateur 107, comme une fonction F_t^P non strictement décroissante de la valeur de présomption Z_t^P selon la relation (10).

Le second sous-ensemble 220 reçoit l'échantillon bruité du présent I_t^P , le dernier échantillon causal filtré P_{t-1}^C , et l'inverse de la somme des poids causals notée K_{t-1}^C comme déjà décrit. Ce second sous-ensemble 220 comprend une Table 111 (L.U.T) où sont portées la va-

leur de la probabilité d'absence de pic β_t^P , et la valeur de l'inverse de la somme des poids causaux K_{t-1}^C , pour fournir le poids W_t^P évalué selon la relation (23).

Ce second sous-ensemble comprend ensuite des additionneurs 112, 114 et un multiplicateur 113 pour évaluer l'échantillon filtré du présent P_t^C en utilisant la relation (24b). A cet effet, l'additionneur 112 reçoit l'échantillon bruité du présent I_t^P et le dernier échantillon causal filtré P_{t-1}^C et fournit la différence $I_t^P - P_{t-1}^C$ qui est multipliée par le poids W_t^P dans le multiplicateur 113 dont la sortie est ajoutée, par le moyen de l'additionneur 114 au dernier échantillon causal filtré P_{t-1}^C . Il en résulte la valeur de l'échantillon filtré du présent P_t^C disponible à la sortie 301 du sous-ensemble 220, conformément à la formule (24b).

Revendications

1. Procédé de filtrage temporel du bruit dans une image d'une séquence d'images numérisées en forme de matrices bidimensionnelles de pixels, formées depuis un premier instant (to) jusqu'à un dernier instant (t), ces pixels ayant des valeurs d'intensité correspondant à chaque instant appelées échantillons, ce procédé comprenant une évaluation, pour une localisation donnée de pixel, d'un échantillon du dernier instant temporellement filtré (P_t^C), en effectuant une combinaison appelée première combinaison de l'échantillon de l'avant-dernier instant temporellement filtré (P_{t-1}^C) affecté d'un premier poids (W_1) et de l'échantillon bruité du dernier instant (I_t^P) modulé par un second poids (W_2) qui est une fonction d'une valeur de probabilité (β_t^P) d'absence de pic de bruit sur cet échantillon.
2. Procédé selon la revendication 1, comprenant une évaluation d'une mesure de présomption de présence de pic de bruit (Z_t^P), supérieure ou égale à 0, comme la valeur minimale entre une première valeur absolue de la différence entre l'échantillon bruité du dernier instant (I_t^P) et cet échantillon spatialement lissé (G_t^P), et une deuxième valeur absolue de la différence entre les échantillons bruités des derniers (I_t^P) et avant-dernier instants (I_{t-1}^C), et une détermination du second poids (W_2) par évaluation de ladite fonction de la valeur de probabilité (β_t^P) d'absence de pic de bruit sur l'échantillon du dernier instant comme une fonction (F_t^P) non strictement décroissante, supérieure à 0 et inférieure ou égale à 1, de la mesure de présomption de présence de pic de bruit (Z_t^P).
3. Procédé selon la revendication 2, selon lequel chacune des première et seconde valeurs absolues des différences est normalisée par un écart type du bruit évalué sur les échantillons pris en compte dans lesdites différences.

4. Procédé selon l'une des revendications 1 à 3, comprenant une évaluation de l'échantillon temporellement filtré de l'avant-dernier instant (P_{t-1}^C) en effectuant une combinaison appelée seconde combinaison des échantillons bruités (I_j^C) du premier instant à l'avant-dernier instant de la séquence, affectés respectivement de poids appelés poids causaux (b_j^C), et ladite seconde combinaison étant normalisée par la somme desdits poids causaux.
5. Procédé selon la revendication 4, comprenant une évaluation du poids (W_1) pour appliquer à l'échantillon (P_{t-1}^C) temporellement filtré de l'avant-dernier instant dans ladite première combinaison comme la valeur de la somme des poids causaux

$$\left(\sum_{j=to}^{j=t-1} b_j^C = W_1 \right)$$

de la seconde combinaison, et une normalisation de ladite première combinaison par la somme des premier et second poids (W_1+W_2).

6. Procédé selon la revendication 5, comprenant une évaluation d'un troisième poids (W_t^P) donnée par un quotient du second poids (W_2) par la somme des premier et second poids (W_1+W_2), et une évaluation de l'échantillon temporellement filtré du dernier instant (P_t^C) en effectuant une combinaison appelée troisième combinaison de l'échantillon (P_{t-1}^C) temporellement filtré de l'avant-dernier instant et d'une différence de l'échantillon bruité (I_t^P) du dernier instant et de l'échantillon (P_{t-1}^C) temporellement filtré de l'avant-dernier instant, différence modulée par ledit troisième poids (W_t^P).
7. Dispositif pour mettre en oeuvre un procédé selon l'une des revendications 1 à 6, comprenant un système pour fournir une suite d'échantillons bruités (I_j) relatifs à une localisation donnée de pixels dans des images successives d'une séquence d'images ayant la forme de matrices bidimensionnelles de pixels, depuis un premier instant (to) jusqu'à un dernier instant (t), un premier ensemble (190) de calcul pour fournir un échantillon filtré temporellement (P_{t-1}^C) de l'avant-dernier instant (t-1), et un second ensemble (200) de calcul comprenant un premier sous-ensemble (210) incluant des modules de calcul pour évaluer une fonction d'une valeur de probabilité (β_t^P) d'absence de pic de bruit sur l'échantillon bruité du dernier instant (I_t^P), et un second sous-ensemble (220) incluant des modules de calcul pour évaluer une première combinaison de l'échantillon temporellement filtré (P_{t-1}^C) de l'avant-dernier instant affecté d'un premier poids (W_1) et de l'échantillon bruité (I_t^P) du dernier instant affecté

d'un deuxième poids (W_2) déterminé par la fonction de la valeur de probabilité (P_1^P), cette première combinaison étant normalisée par la somme du premier et du deuxième poids.

5

8. Dispositif selon la revendication 7, comprenant dans le premier ensemble de calcul (190), des moyens pour évaluer l'échantillon temporellement filtré (P_{t-1}^C) de l'avant-dernier instant comme une seconde combinaison des échantillons bruités (I_j^C) antérieurs au dernier instant affectés de poids respectifs (b_j^C) appelés poids causaux, et normalisée par la somme desdits poids causaux, et comprenant dans le deuxième ensemble de calcul (200), des moyens pour évaluer le premier poids (W_1) affecté à l'échantillon temporellement filtré (P_{t-1}^C) de l'avant-dernier instant comme la somme desdits poids causaux

20

$$\left(\sum_{j=t_0}^{j=t-1} b_j^C = W_1 \right).$$

9. Dispositif pour le traitement d'images médicales comprenant un système pour fournir des données d'une image sous forme de matrice bidimensionnelle de pixels ayant des valeurs d'intensité numérisées, un système d'affichage des données, un système de traitement d'image ayant accès aux données d'image et au système d'affichage, et un dispositif selon l'une des revendications 7 ou 8.

25

35

40

45

50

55

9

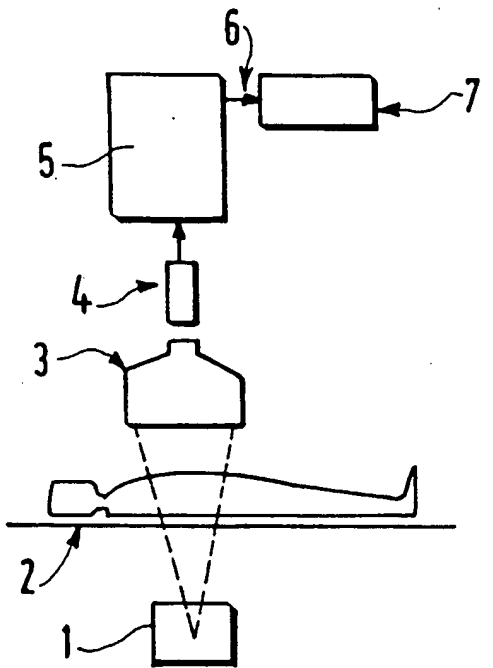


FIG.1

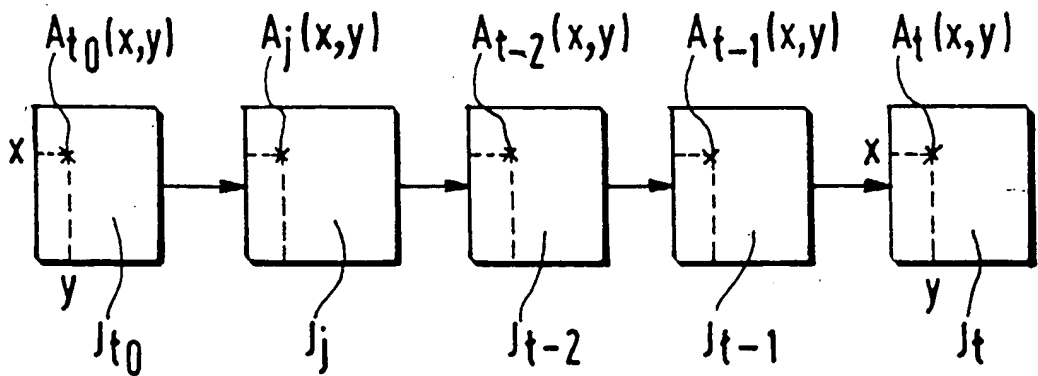


FIG.2

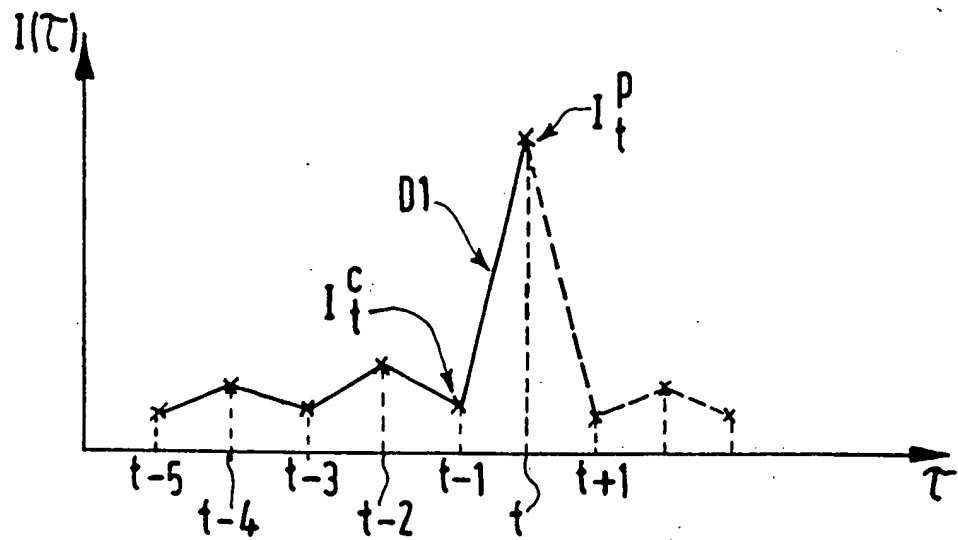


FIG. 3A

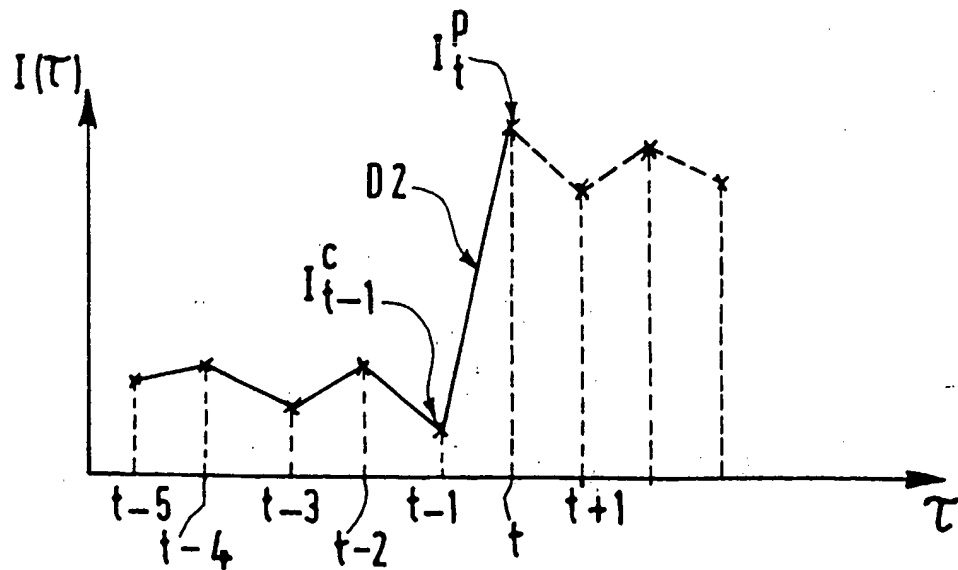


FIG. 3B

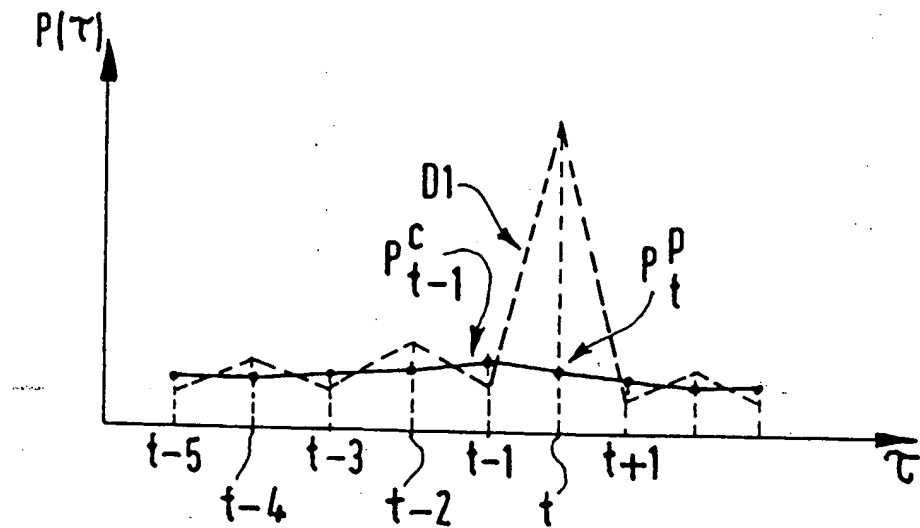


FIG. 4 A

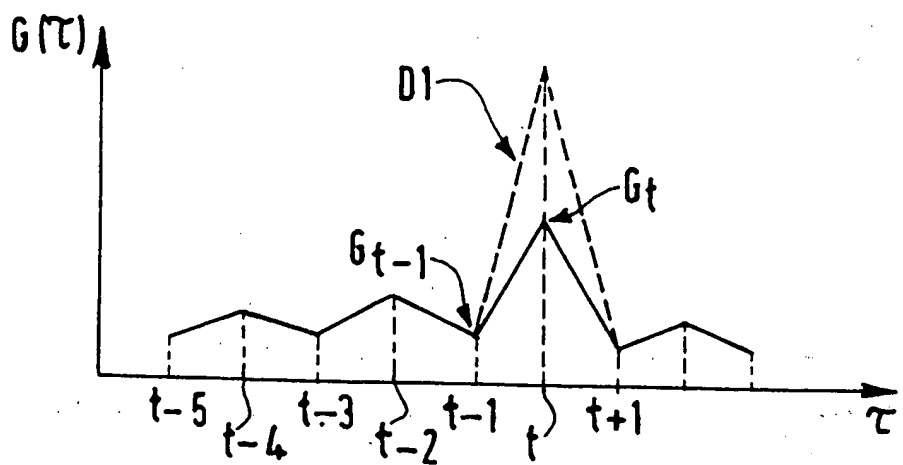


FIG. 4 B

$A_t(x-1, y)$ $A_t(x, y)$ $A_t(x+1, y)$

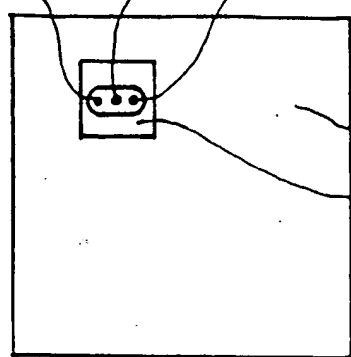


FIG.5A

V $A_t(x, y)$ X_1

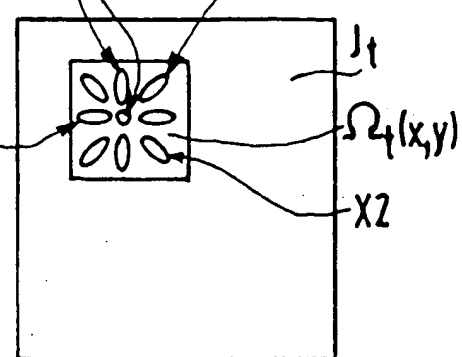


FIG.5B

β_t^P

1

β_{MIN}^P 0.10

0

1

2

FIG.6

Z_t^P

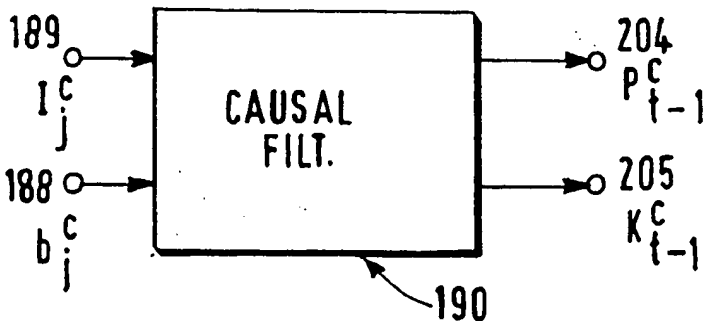
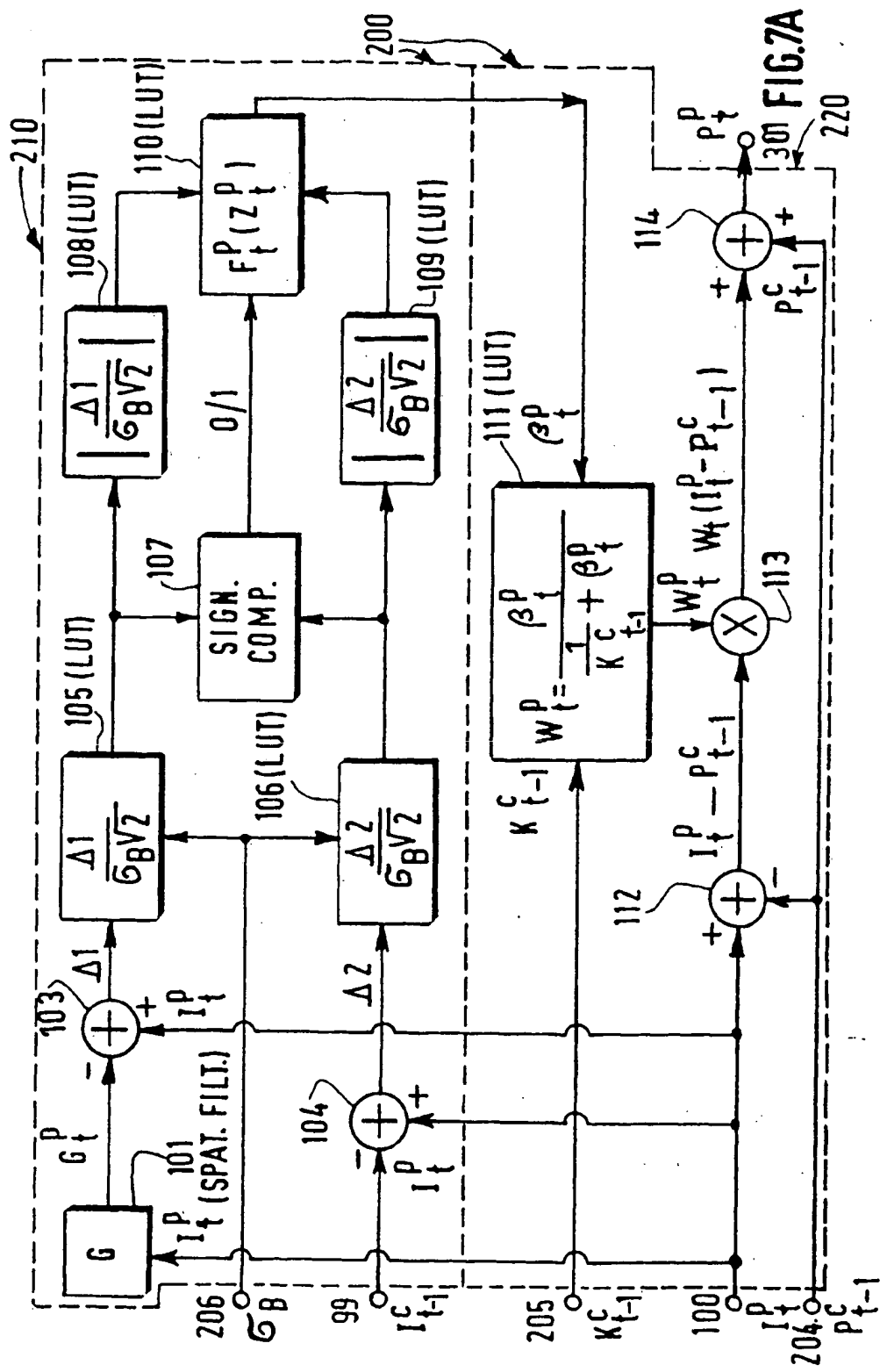


FIG.7B





Office européen
des brevets

RAPPORT DE RECHERCHE EUROPEENNE

N° de la demande
EP 97 20 2288

DOCUMENTS CONSIDERES COMME PERTINENTS			
Catégorie	Citation du document avec indication, en cas de besoin, des parties pertinentes	Revendication concernée	CLASSEMENT DE LA DEMANDE (Int.Cl.)
A	EP 0 512 422 A (EASTMAN KODAK CO) 11 novembre 1992 * abrégé * * page 55, ligne 30 - page 56, ligne 38 * ---	1-9	G06T5/00
A	EP 0 578 311 A (PHILIPS ELECTRONICS NV) 12 janvier 1994 * abrégé * * colonne 1, ligne 43 - colonne 2, ligne 10 * * colonne 3, ligne 33 - ligne 57 * * colonne 5, ligne 41 - colonne 6, ligne 26 * -----	1-9	DOMAINE TECHNIQUE RECHERCHÉ (Int.Cl.) G06T
<p>Le présent rapport a été établi pour toutes les revendications</p>			
Lieu de la recherche	Date d'achèvement de la recherche	Examineur	
LA HAYE	25 septembre 1997	Gonzalez Ordonez, O	
CATÉGORIE DES DOCUMENTS CITÉS			
X : particulièrement pertinent à lui seul Y : particulièrement pertinent en combinaison avec un autre document de la même catégorie A : arrêté-plan technologique O : divulgation non-légitime P : document intercalaire		T : théorie ou principe à la base de l'invention E : document de brevet antérieur, mais publié à la date de dépôt ou après cette date D : cité dans la demande L : cité pour d'autres raisons & : membre de la même famille, document correspondant	